

Проект ВЭПП-6: детектор или

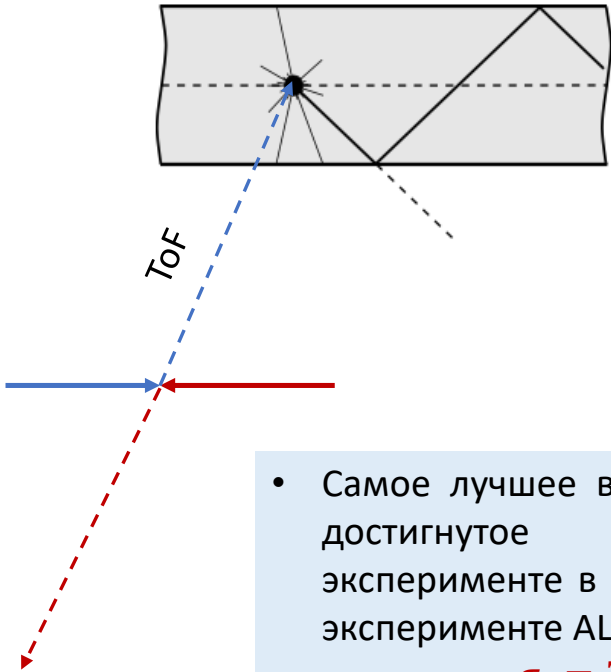
Идентификация для $\Phi - \psi$ фабрики в ИЯФ

А.Ю. Барняков

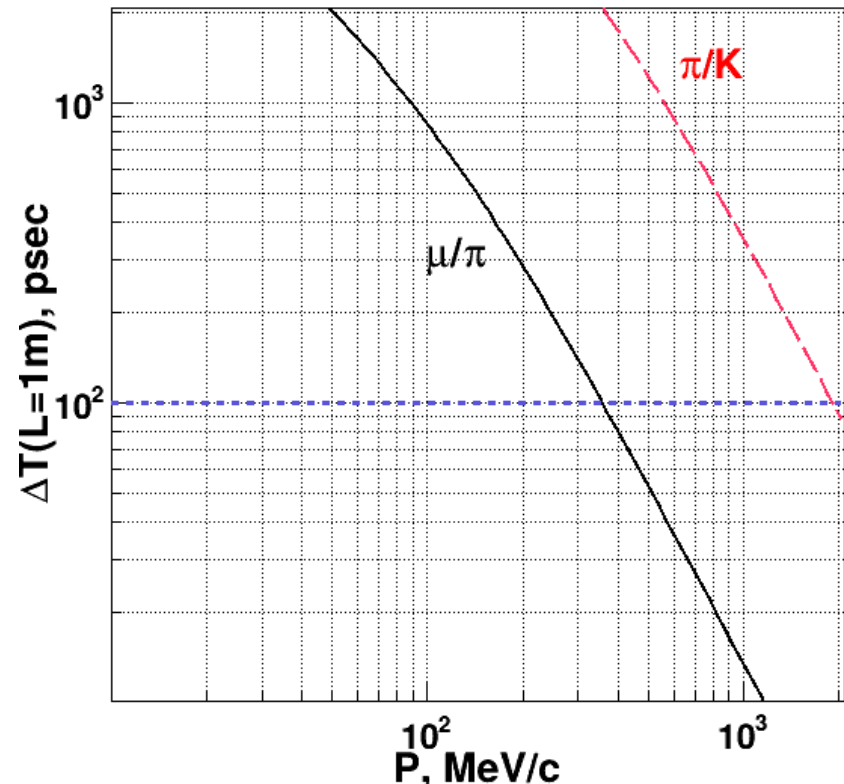
- *ToF*
- *DIRC-like-ToF*
- *ASHIPH*
- *FARICH*

Собрание рабочей группы по разработке CDR
ИЯФ СО РАН, Новосибирск 24/04/2025г.

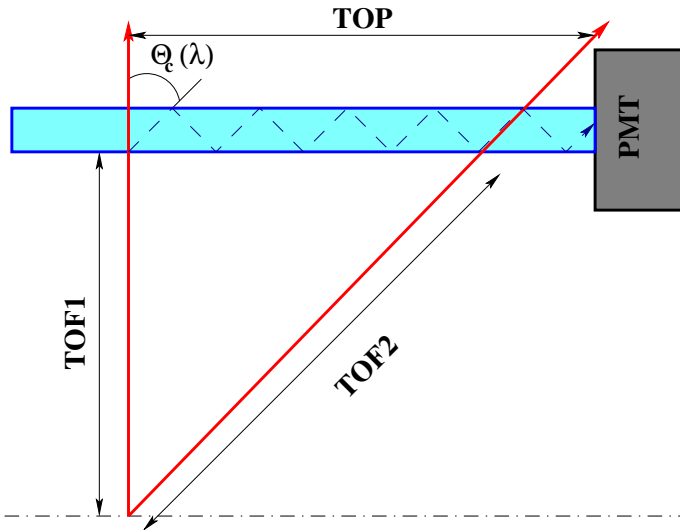
Time of Flight (ToF)



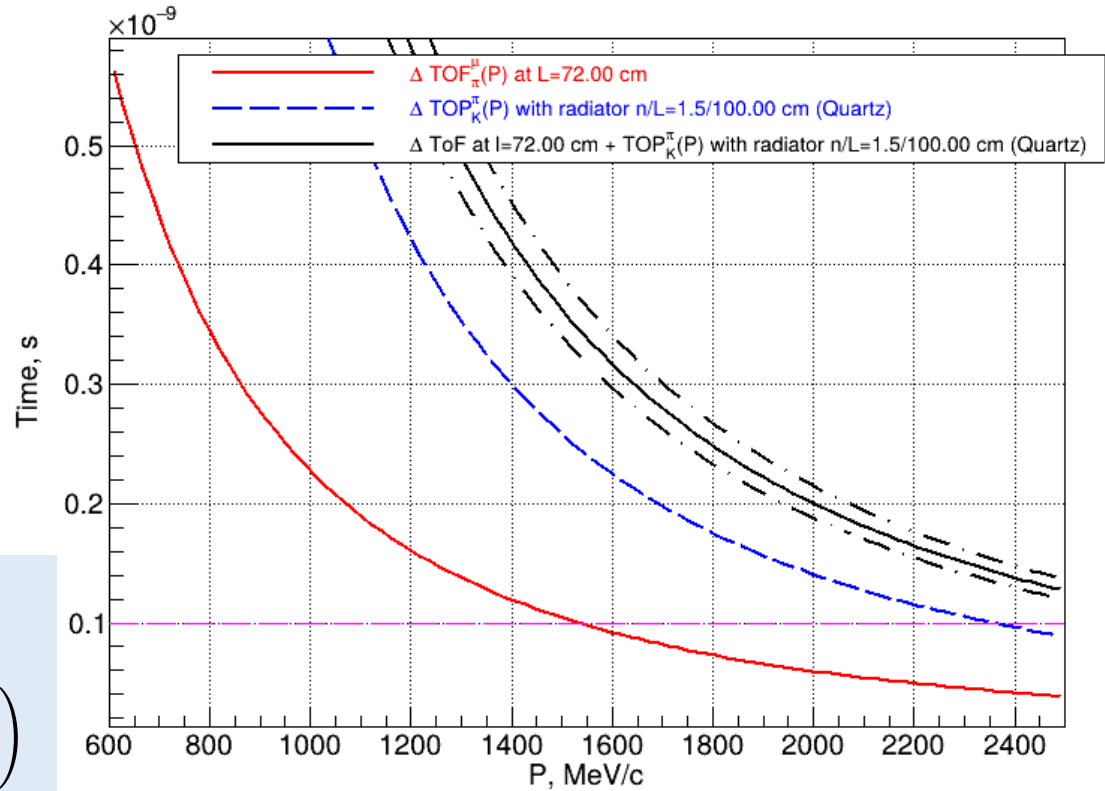
- Самое лучшее временное разрешение, достигнутое в коллайдерном эксперименте в системе ToF (BES-III) и в эксперименте ALICE
 $\sigma_t = 70 \div 90$ пс
- Неопределенность t_0 квадратично добавляется к σ_t и зависит от параметров пучка:
 $l_{bunch} = 5 \div 10$ мм $\rightarrow \sigma_{t_0} = 15 \div 30$ пс
- При пролетной базе ~ 1 м возможно обеспечить π/K -разделение до 1 ГэВ/с



DIRC-like-ToF (DToF)



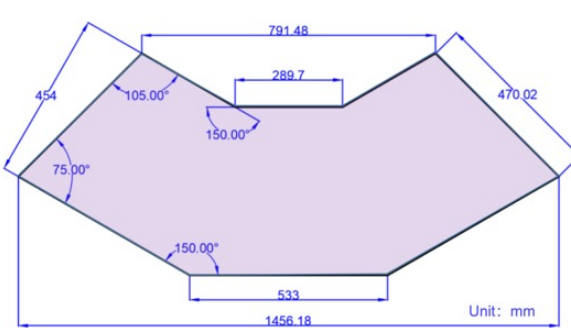
- $\Delta_{ToF} = \frac{L_{top}}{c} \cdot \left(\sqrt{1 + \frac{m_2^2}{p^2}} - \sqrt{1 + \frac{m_1^2}{p^2}} \right)$
- $\Delta_{ToP} = \frac{L_{top} \cdot n(\lambda)^2}{c} \cdot \left(\frac{1}{\sqrt{n(\lambda)^2 - 1 - \frac{m_2^2}{p^2}}} - \frac{1}{\sqrt{n(\lambda)^2 - 1 - \frac{m_1^2}{p^2}}} \right)$
- Черенковский радиатор увеличивает разницу времен прихода сигнала для разных частиц с одинаковым импульсом, но $n(\lambda)$ является дополнительным вкладом в σ_t



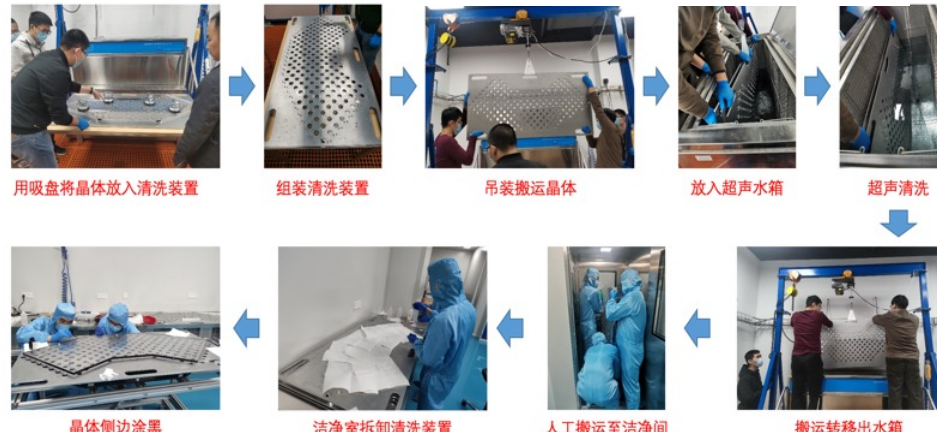
Расчет для перпендикулярного пролета:

- времяпролетная база – 72 см;
- черенковский радиатор – 100 см.

PID Endcap: A full-sized DTOF prototype

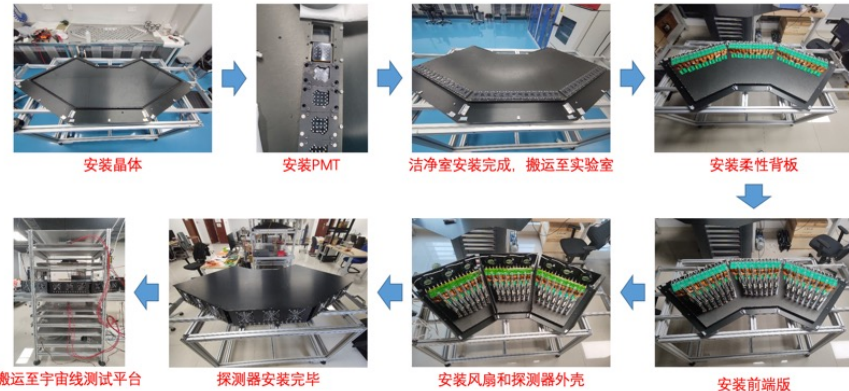


石英清洗和安装



Quartz radiator cleaning and mounting

Detector assembling



ВЭПП-6: детектор CDR-meeting 24/04/25

• 时间性能: ~27 ps

• 增益非均匀性: 14% (σ/μ)

• 灵敏面积: 23×23 mm²

• 像素分布: 4×4 阵列

• 像素大小: 5.5×5.5 mm²

• 光谱响应范围: 200-850 nm

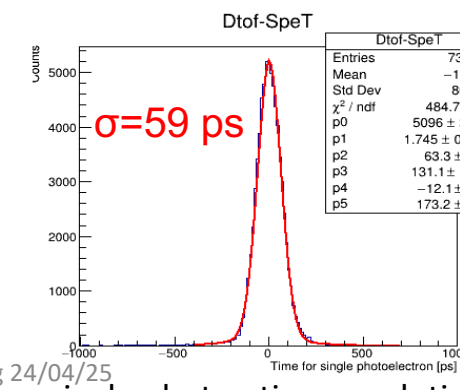
• 量子效率: 25%@ $\lambda=400$ nm

• 单光子灵敏

• 高增益: >10⁶

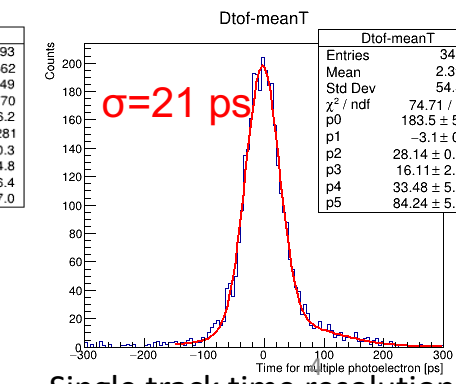
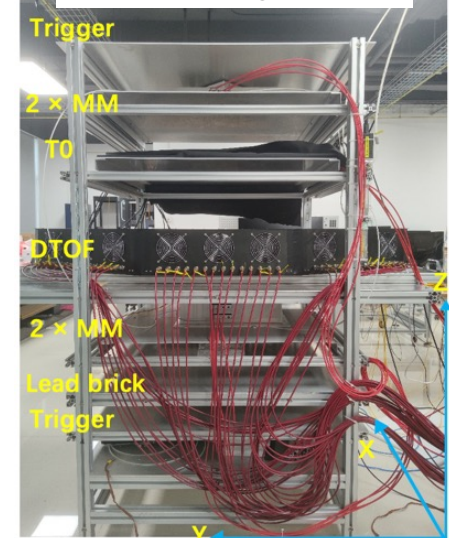
• Counts

• Time for single photoelectron [ps]



single photon time resolution

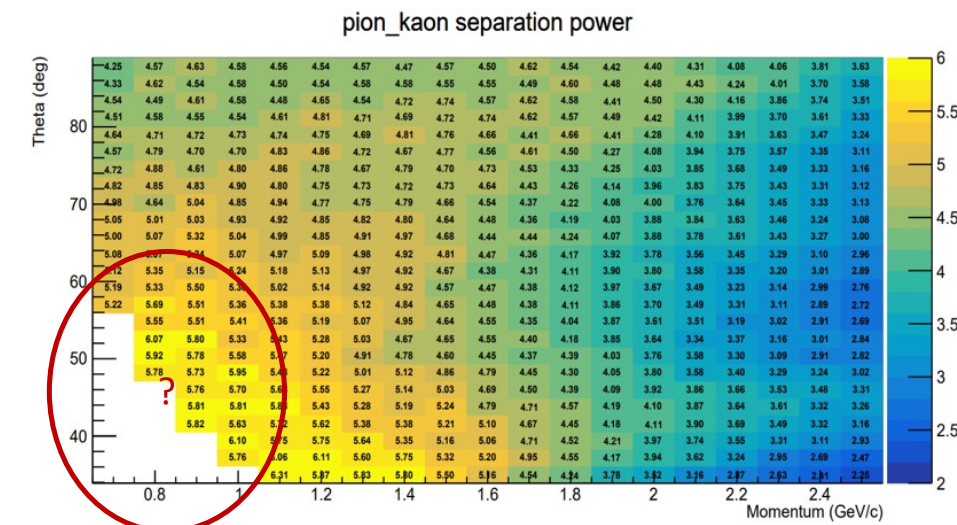
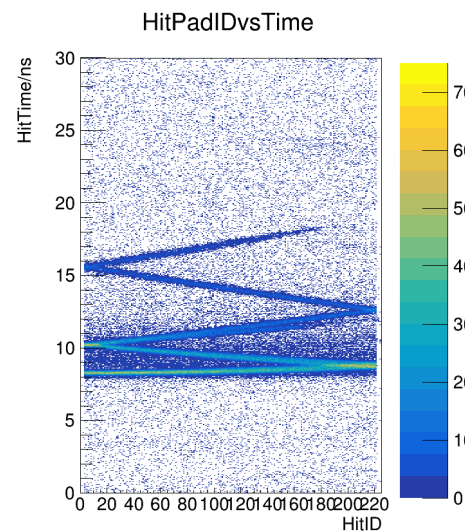
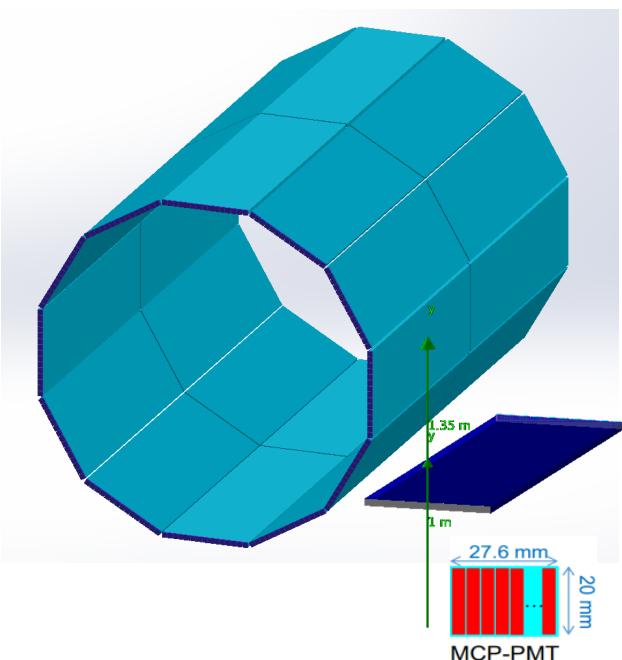
Cosmic-ray test



Single track time resolution

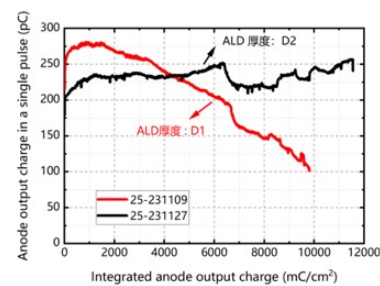
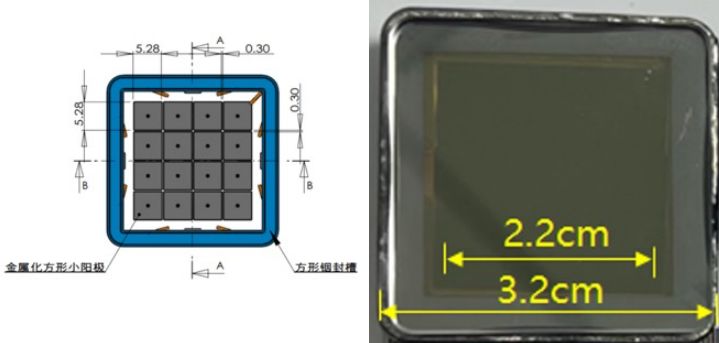
Application of DTOF in Barrel

- Conceptual design of barrel PID based on the DTOF technology
- Design optimization by scanning a variety of key design parameters
- Performance with full simulation mostly meet PID requirements
- More studies and work are planned

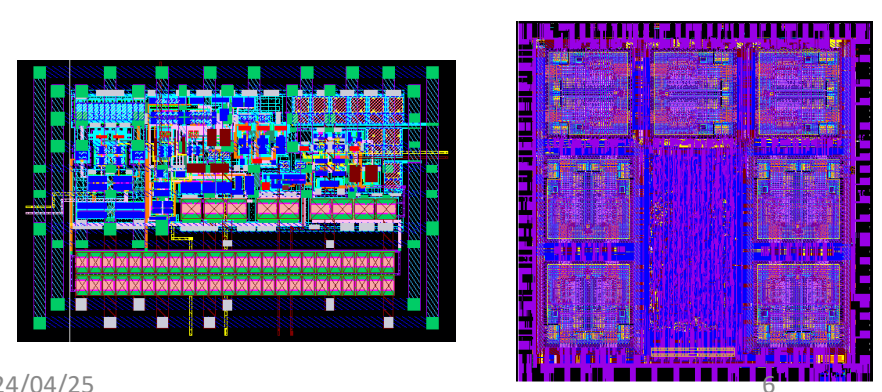
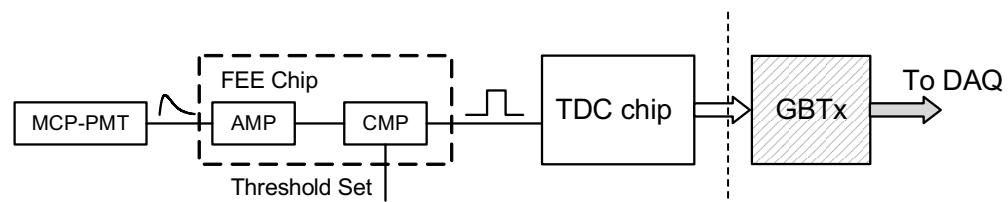


DTOF R&D on MCP-maPMT and Readout ASICs

- **MCP-maPMT: a critical component of the DTOF technology**
- **Designed and produced 1-inch MCP-maPMT with 16 annodes, TTS < 40 ps**
- **Intensive R&D on techniques (ALD and electron scrubbing) to produce long-life MCP-PMT (target >10 C/cm²)**



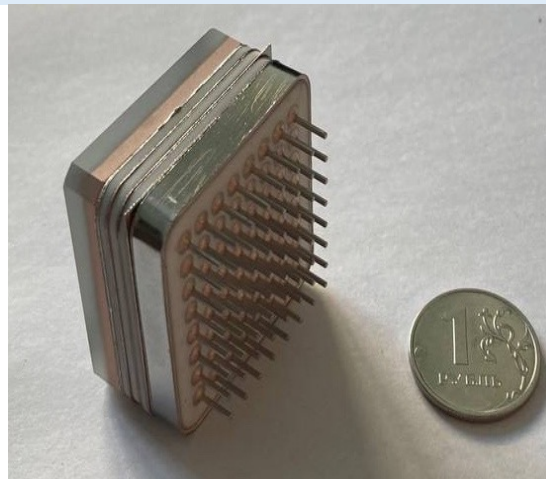
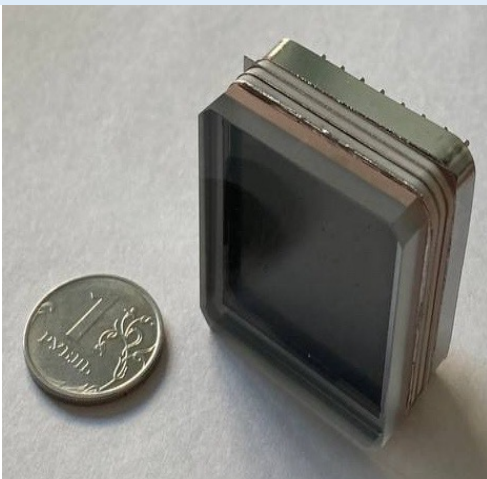
- **Two ASICs designed for MCP-maPMT readout.**
 - FET (taped out), target ~ 15 ps
 - TDC (taped out), target ~ 15 ps



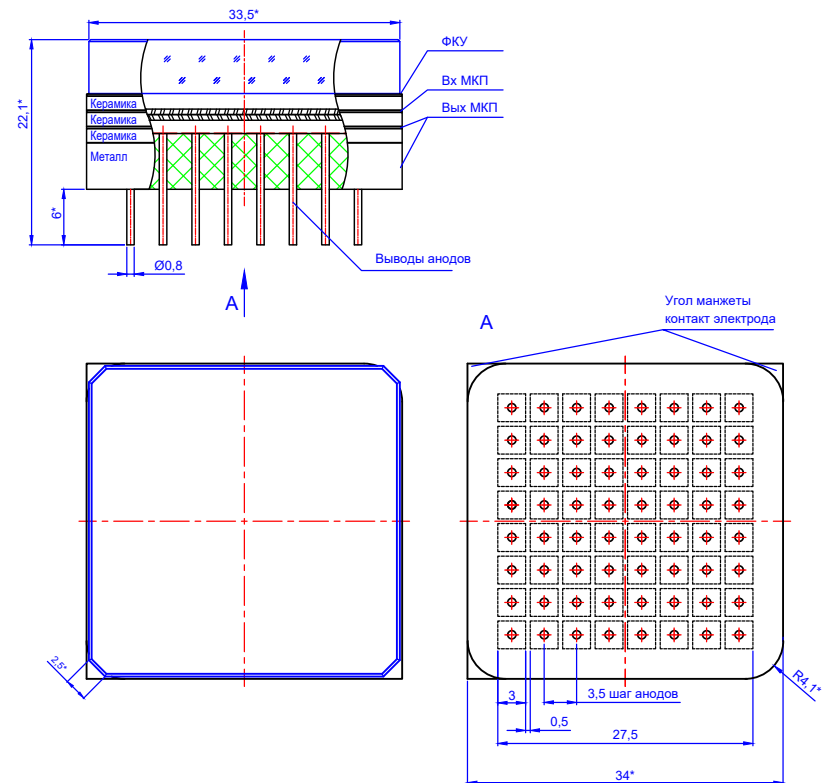
Status of MCP PMT development in Russia

Square MCP PMT from “Ekran FEP”:

- Construction and design is developed
- All details and components are produced in Russia
- All technological processes are developed and realized
- First samples for test will be available soon in 2025



The first prototype fully assembled and vacuum sealed prototype

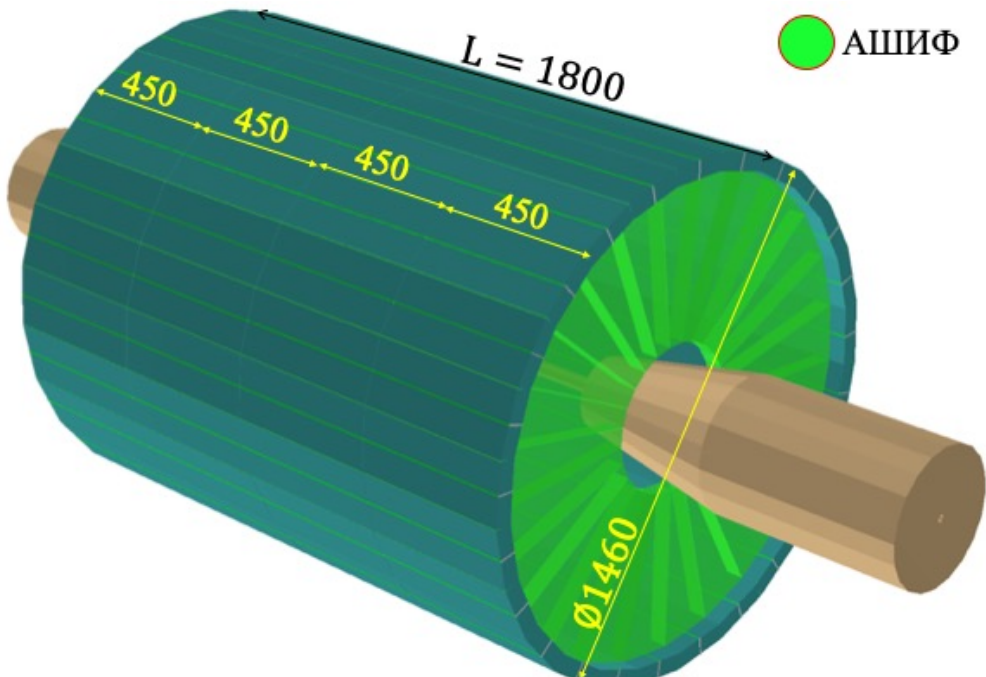


* Размер для справок. Возможны незначительные изменения.

DIRC-like-ToF для детектора ВЭПП-6?

- В баррели с радиусом 72 см:
 - 25 пластин плавленого кварца 200x18x2 см
 - По 6 ФЭУ с МКП («Экран ФЭП») на торец 3x3 см (фотокатод 2.4x2.4 см)
 - Объем занимаемый системой по радиусу ~ 4 см
 - Количество вещества $\sim 15\%X_0$
- FEE – специализированный ASIC и остальная DAQ с $jitter \leq 30$ пс
- π/K -разделение до 2 ГэВ/с на уровне 3σ – кажется возможно?!
- Стоимость:
 - ФЭУ с МКП – 300 шт. ~ 200 млн.р.
 - Кварцевые пластины – 25 шт. $\sim 50k\$ \times 25 \approx 100 \div 125$ млн.р.
 - FEE+DAQ – 300x64 канала по 15\$/канал ~ 25 млн.р.ИТОГО: ~ 350 млн.р.

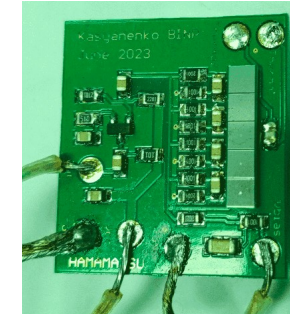
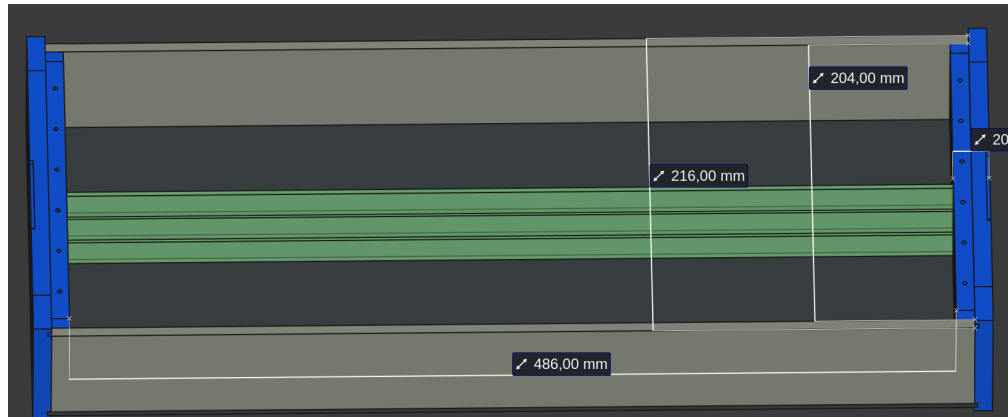
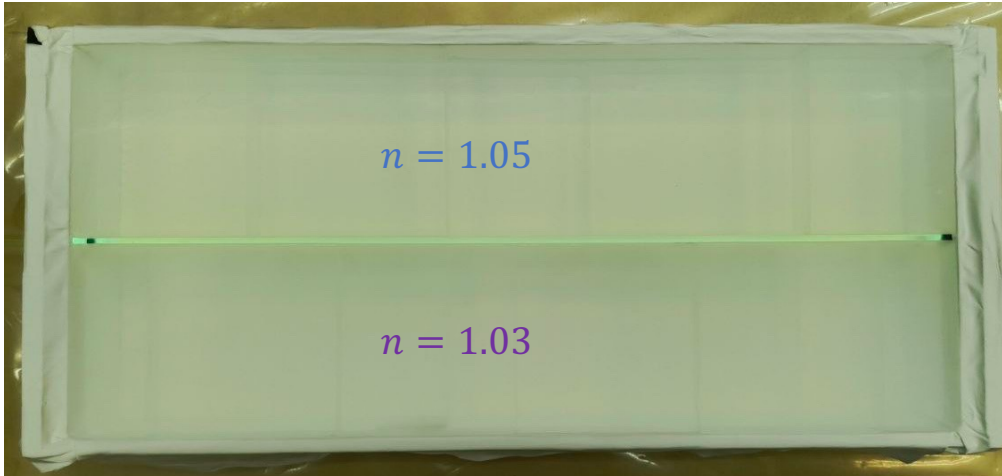
Система идентификации: АШИФ + КФЭУ



АШИФ

- $t[\text{cm}]/n : 8[\text{см}]/1.05$ или $9 \div 12\% X_0$
 - $N_{pe}^\Sigma(\beta = 1) \approx 20$
 - 300 счетчиков $45 \times 17 \times 4 \text{ см}^3$ в 2 слоя
 - WLS – BBQ $45 \times 20 \times 3 \text{ мм}^3$
 - $(6 \div 12) \times 300 = 1800 \div 3600 \text{ КФЭУ } 3 \times 3 \text{ мм}^2$
- π/K -разделение:
 - $\geq 4\sigma$ – $0.5 \div 1.5 \text{ ГэВ/с}$ (порог $\sim 5\phi$)
 - $\geq 2.5\sigma$ – $1.5 \div 2.0 \text{ ГэВ/с}$ (порог $\sim 10\phi$)
- КФЭУ $\sim 20 \text{ млн.р.}$
- Электроника (300 \div 600 кан) $\sim 1.5 \text{ млн.р.}$
- Аэрогель
 - (производство нового) $\sim 100 \text{ млн.р.}$
 - КЕДР ($\sim 85 \text{ млн.р.}$)
- Остальное (WLS, охл. и др.) $\sim 3.5 \text{ млн.р.}$
- ИТОГО: $\sim 125 \text{ млн.р.}$

Design of the 1st ASHIPH prototype for STCF

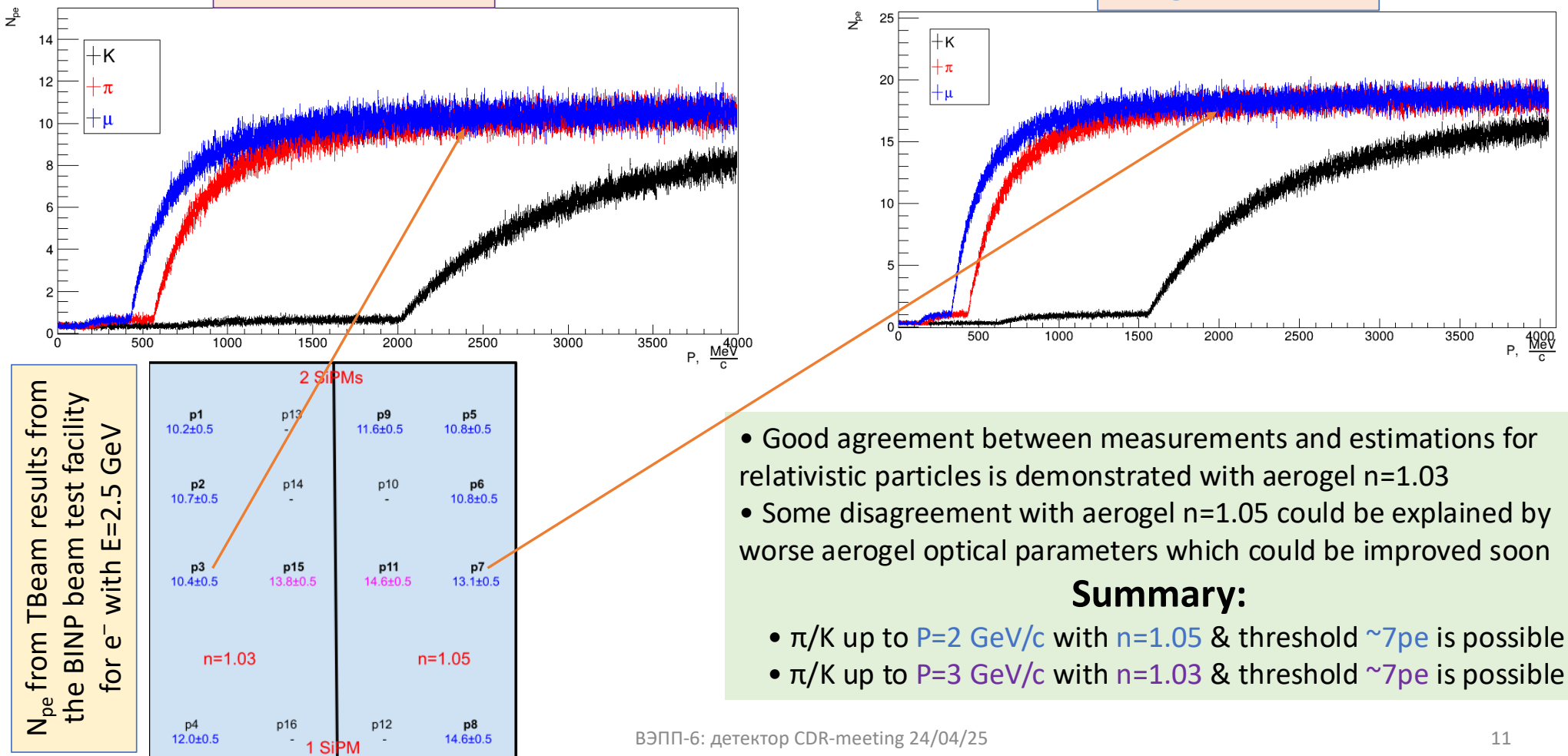


- 3 arrays 5 SiPMs each were made from MPPC S13365-3050NE-16 (Hamamatsu)
- 3 channels of V1742 (CAEN) digitizer will be used to readout

Main goals:

- To test light collection uniformity
- To test and chose WLS dye:
 - BBQ ($\tau=15$ ns)
 - NOL-14 ($\tau=0.74$ ns)
- To test and chose SiPMs
 - Hamamatsu
 - NDL
 - JoinBon and ...
- To test and develop FEE
- To test π /K-separation and chose aerogel

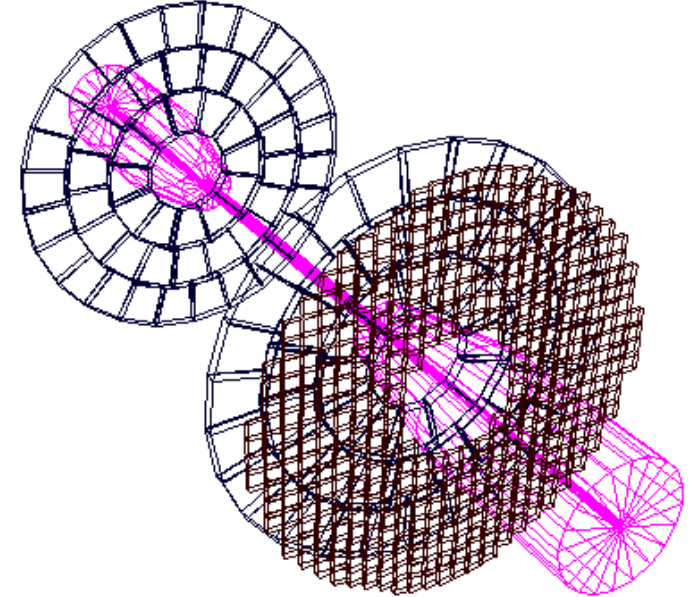
Expected and measured performances of the ASHIPH-SiPM prototype



Торцевой ФАРИЧ

Мотивация

- $10^\circ \leq \theta \leq 22^\circ$ – нет МК \rightarrow
НЕТ μ/π – разделения
- При физических фонах на малых R
 $\sim 10^3 \div 10^5 e^-(e^+) \text{см}^{-2} \text{с}^{-1}$
АШИФ не эффективен
- Прямое измерение скорости частицы
уточнение импульса в торце $\frac{\sigma_p}{p} = \gamma^2 \cdot \frac{\sigma_\beta}{\beta} \approx 1 \div 2\%$

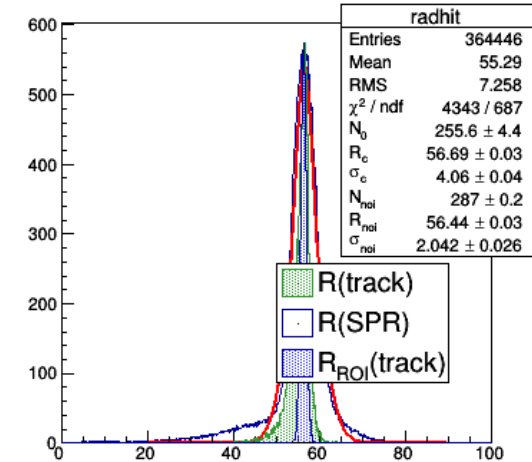
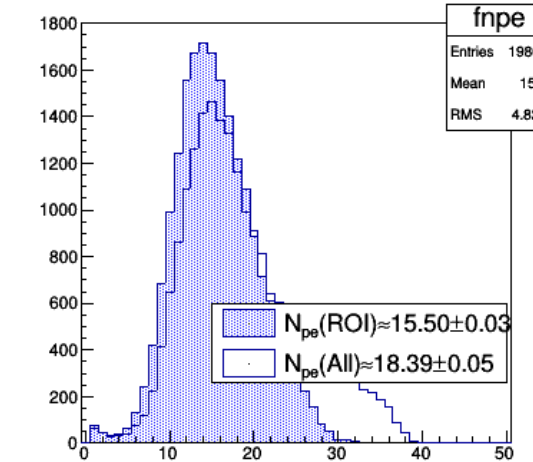
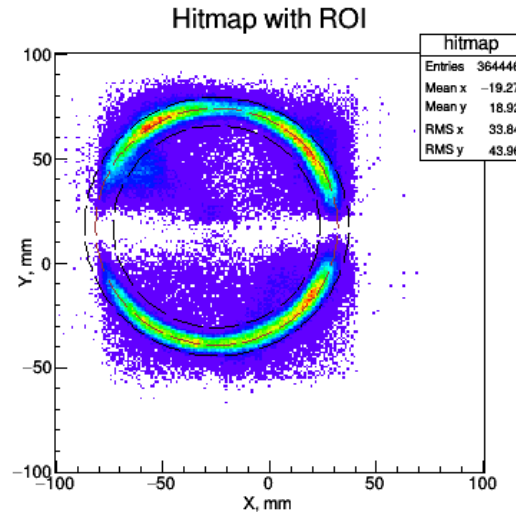


- Аэрогель
 - 4-слойный фокусирующий с $n_{max}=1.05$
 - 110 блоков $20 \times 20 \times 35 \text{ см}^3 \sim 35 \text{ млн.р.}$
- Фотодетекторы
 - ФЭУ с МКП «Экран ФЭП»
 - $2 \times 426 = 852$ $\sim 500 \div 680 \text{ млн.р.}$
- Электроника
 - HV $\sim 8.5 \text{ млн.р.}$
 - Оцифровка $\sim 100 \div 200 \text{ млн.р.}$
- **ИТОГО:** **$\sim 900 \text{ млн.р.}$**

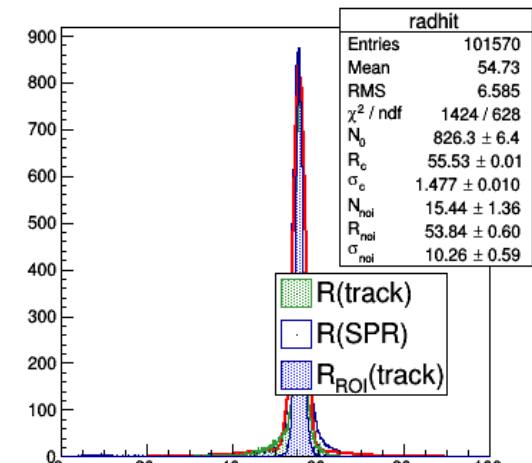
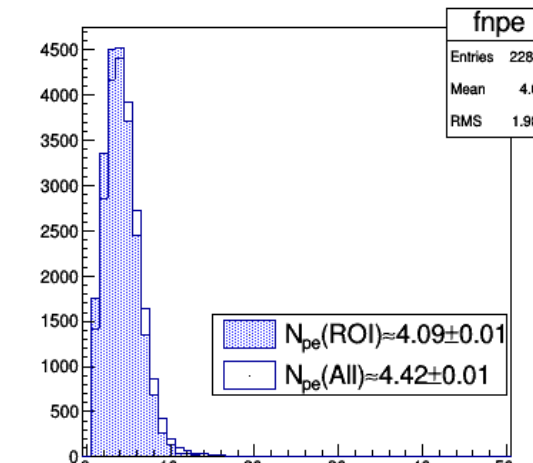
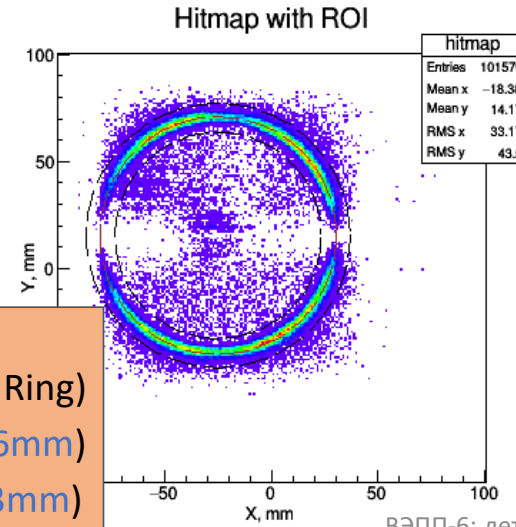
- π/K – разделение $\geq 3\sigma$ до 6 ГэВ/с
- μ/π – разделение $\geq 3\sigma$ до 1.5 ГэВ/с
- ToF на входном окне
 $\rightarrow \pi/K$ – разделение $\leq 0.5 \text{ Гэв/с}$

Recent beam test results

Pixel 6x6 mm
Geom.Eff. ~ 80%



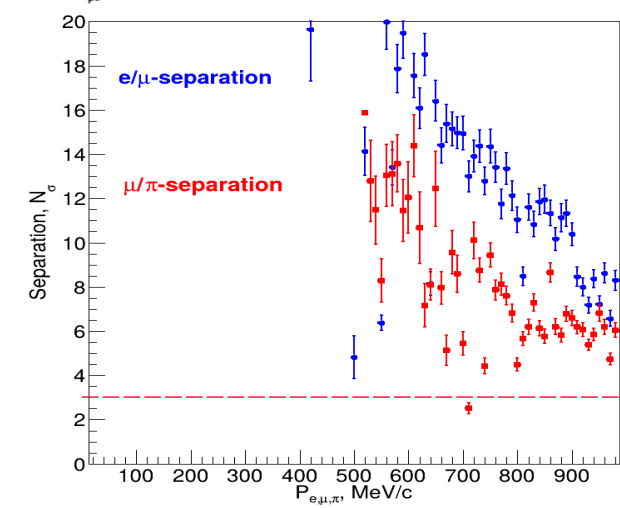
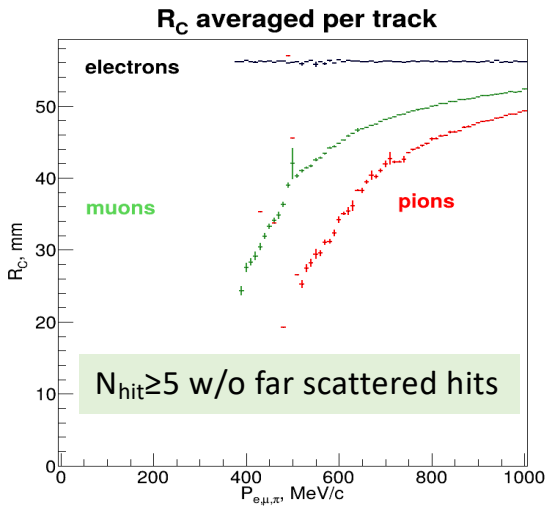
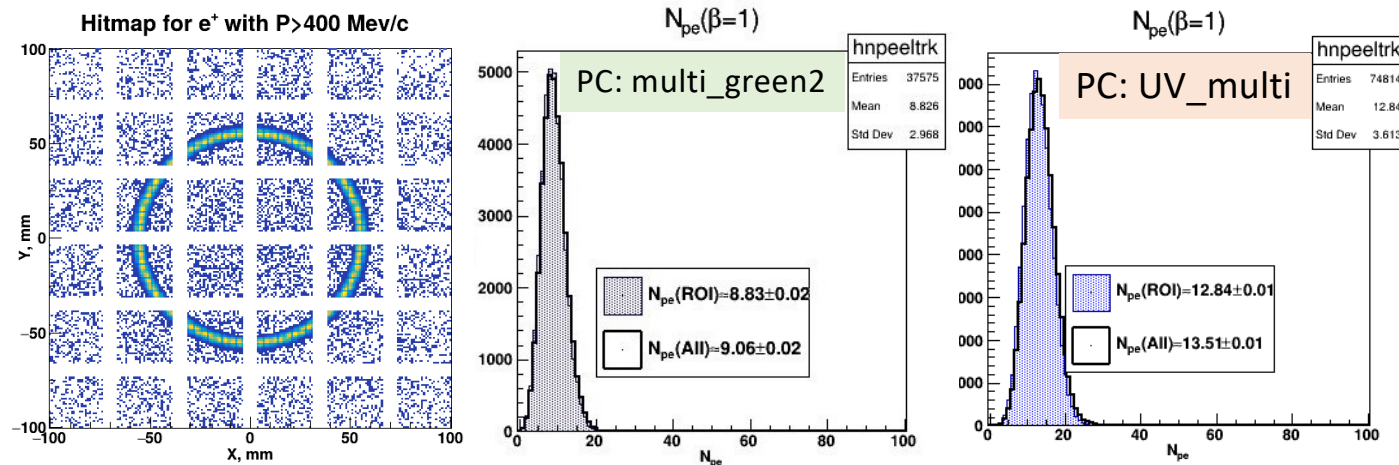
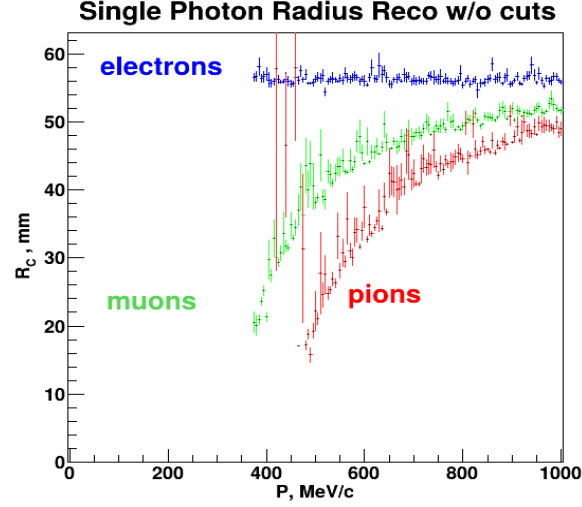
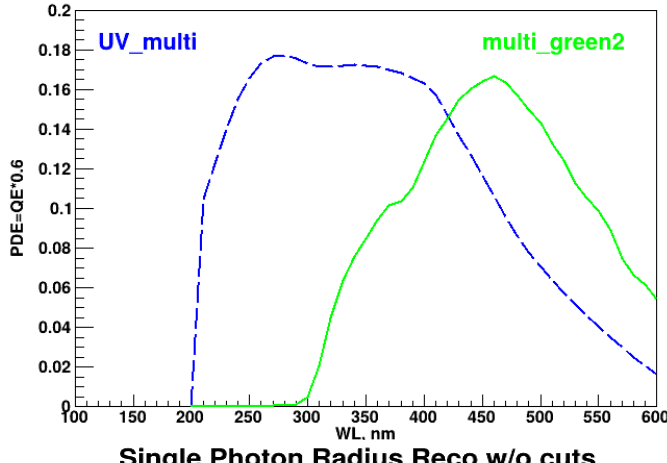
Pixel 3x3 mm
Geom.Eff. ~ 20%



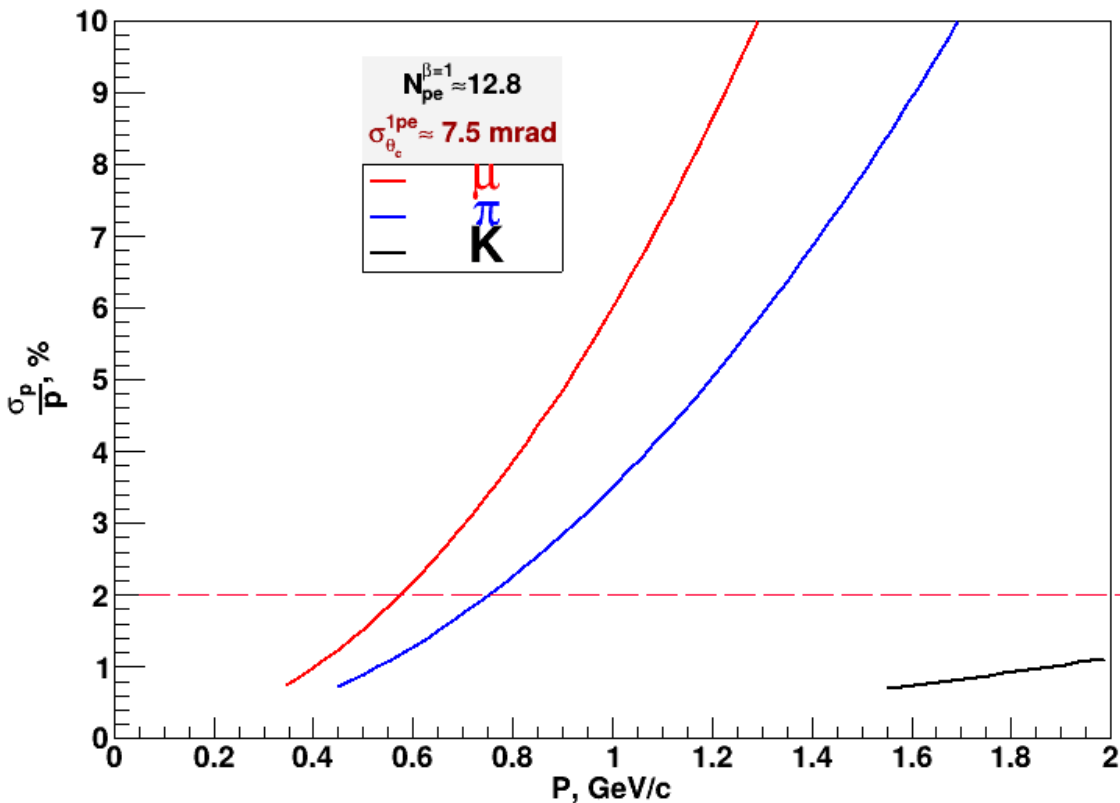
- Main results:**
- $N_{\text{pe}} \approx 16$ (~ 0.8 of Ring)
 - $\sigma_{\theta}^{1\text{pe}} \approx 13.5 \text{ mrad}$ ($\blacksquare 6\text{mm}$)
 - $\sigma_{\theta}^{1\text{pe}} \approx 7.5 \text{ mrad}$ ($\blacksquare 3\text{mm}$)

FARICH prototype based on MCP-PMT (Ekran FEP)

(expected performances: Geant4 simulation results)



Momentum measurements with FARICH



$$\frac{\sigma_p}{p} = \gamma^2 \cdot \frac{\sigma_\beta}{\beta}$$

$$\frac{\sigma_p}{p} = \gamma^2 \cdot \tan \theta \cdot \sigma_\theta^{tr}$$

$$\sigma_\theta^{tr} = \frac{\sigma_\theta^{1pe}}{\sqrt{N_{pe}(p)}} = \frac{\sigma_\theta^{1pe}}{\sqrt{N_{pe}^{\beta=1}}} \cdot \frac{p\sqrt{n^2 - 1}}{\sqrt{p^2(n^2 - 1) - m^2}}$$

$$\frac{\sigma_p}{p} = \frac{p\sqrt{p^2 + m^2}}{m^2} \sqrt{n^2 - 1} \cdot \frac{\sigma_\theta^{1pe}}{\sqrt{N_{pe}^{\beta=1}}},$$

where m – particle mass, p – particle momentum, $n = 1.05$ – refractive index of aerogel, σ_θ^{1pe} and $N_{pe}^{\beta=1}$ are single photon Cherenkov angle resolution and number of detected photons per track correspondingly measured with relativistic electron beams.

Заключение

- Система АШИФ:

- Наиболее изученная и предсказуемая опция
- Толщина $\sim 8\text{см}$ по радиусу и $9\%X_0$
- Стоимость ~ 125 млн.р.

- Система DIRC-like-ToF

- Требует серьезных R&D: производство кварцевых пластин и FEE
- Толщина $\sim 4\text{см}$ по радиусу и $15\%X_0$
- Стоимость ~ 350 млн.р.

- Система ФАРИЧ:

- Более или менее понятно как сделать для торцевой части детектора
- Толщина $\sim 25\text{см}$ по радиусу и $20\%X_0$
- Стоимость ~ 900 млн.р.